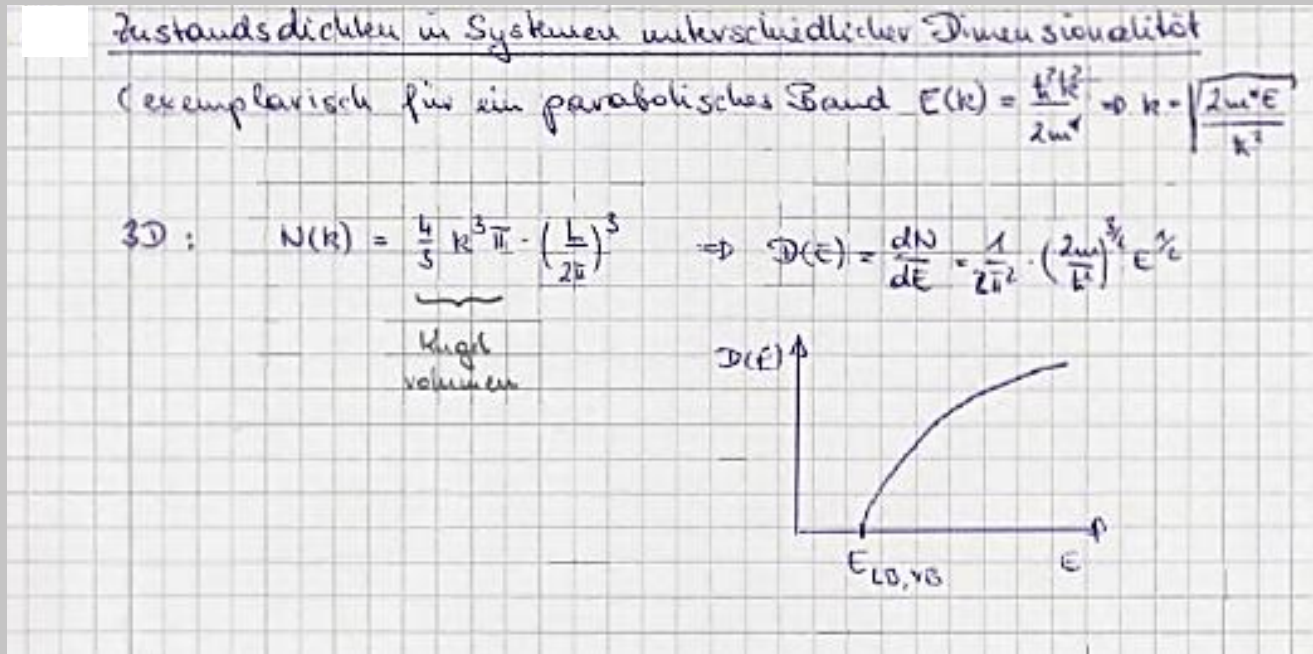
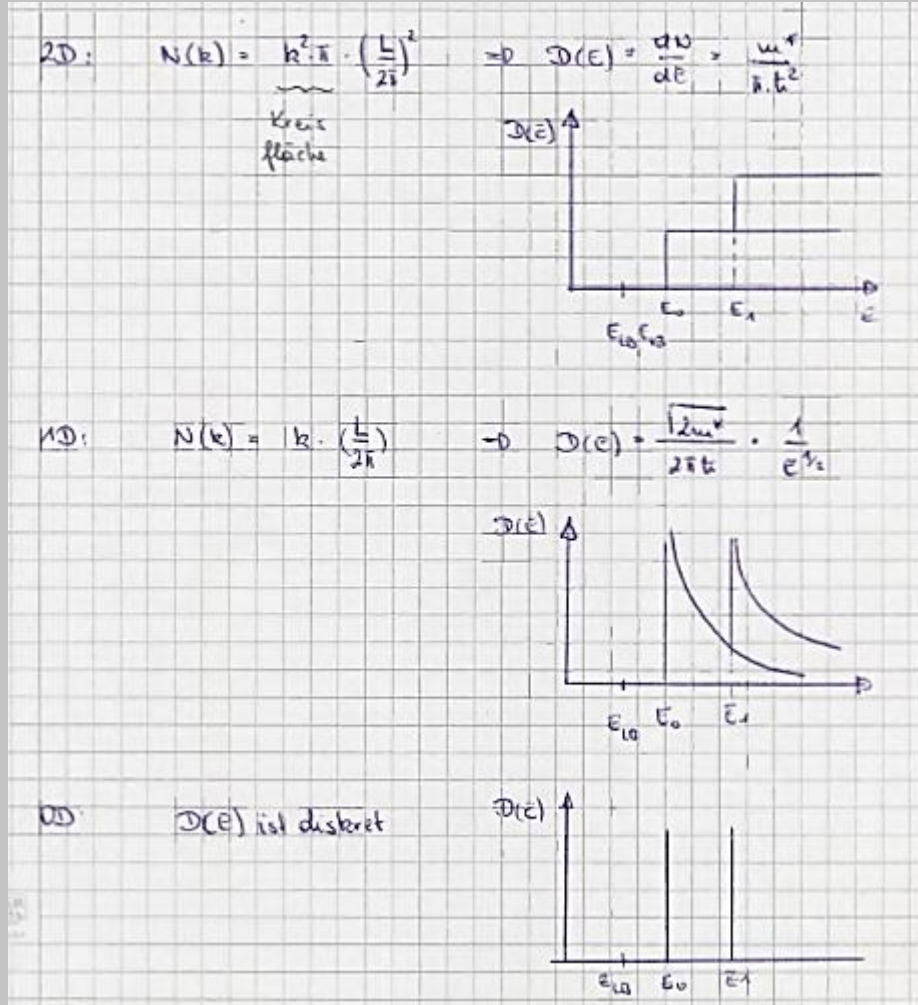


1. Physik von 3-, 2-, 1- und 0-dimensionalen Systemen



Zustandsdichte in 2, 1 und 0 dim



Effektive Zustandsdichte und Ladungsträgerkonzentration

$$n = \int_{\epsilon_{\text{bottom}}}^{\epsilon_{\text{top}}} D(E) f_g(\epsilon) d\epsilon = N_c \cdot f_g(\epsilon = \epsilon_c)$$

dann ändert sich auch die effektive Zustandsdichte mit der Dimensionalität.

$$\underline{n_{3D}}: n_c^{3D} \cdot f_g(\epsilon = \epsilon_c) \rightarrow N_c^{3D} \cdot F_{\eta}(\eta) \quad \eta = \left(\frac{\epsilon - \epsilon_F}{kT} \right)$$

$$N_c^{3D} = \frac{1}{12} \cdot \left(\frac{\pi m^* k_B T}{h \cdot e^2} \right)^{3/2} \quad [Cm^{-3}]$$

Ladungsträgerkonzentration in niedrigeren Dim.

2D:

$$n_{2D} = N_C^{2D} \cdot f_{1/2}(\gamma) = \int_{E_C}^{\infty} \frac{w^2}{\pi \hbar} \cdot e^{-\frac{(E-E_F)}{kT}} dE$$

$N_C^{2D} = \frac{w^2}{\pi \hbar} \cdot kT$

[cm⁻²]

1D:

$$n_{1D} = \int_{E_C}^{\infty} \frac{1}{\pi \hbar} \cdot \sqrt{\frac{w^2}{2(E-E_F)}} \cdot e^{-\frac{(E-E_F)}{kT}} dE$$

$N_C^{1D} = \sqrt{\frac{w^2 k T}{2 \pi \hbar^2}}$

[cm⁻¹]

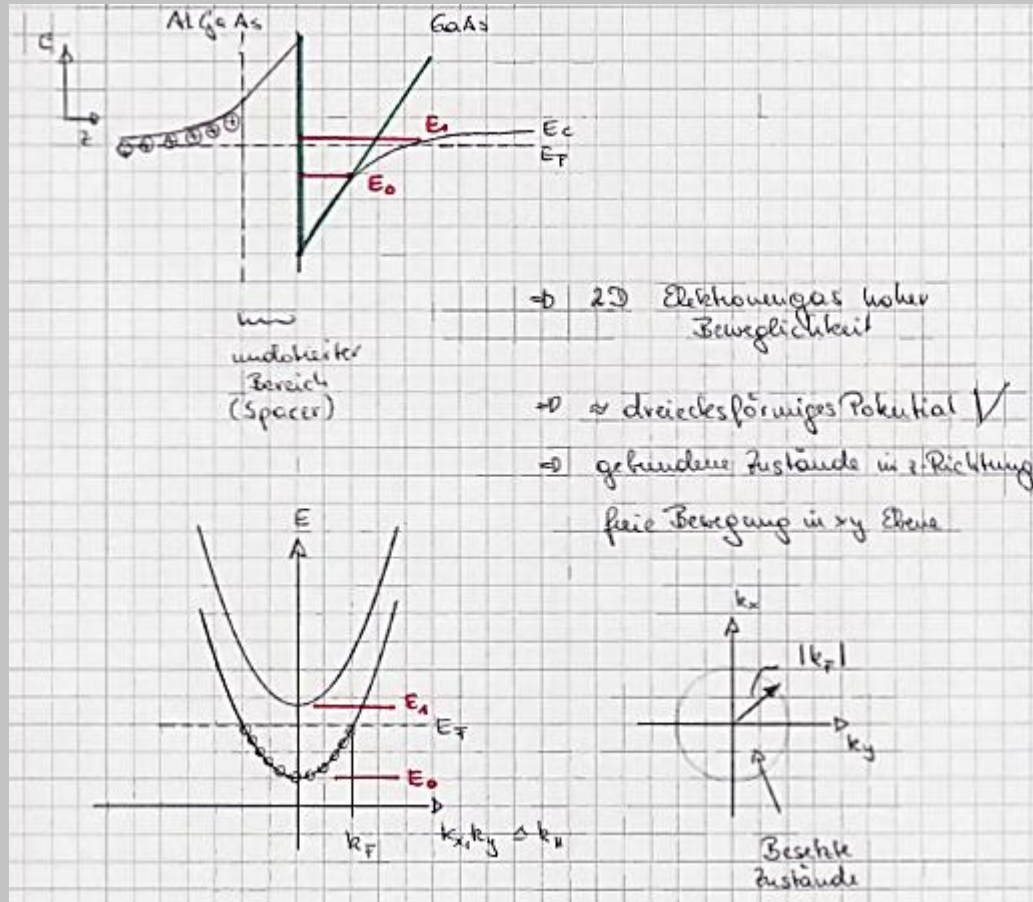
0D:

$$n_{0D} = \int_{E_C}^{\infty} 2 \cdot S(E-E_F) dE$$

$N_C^{0D} = 2$

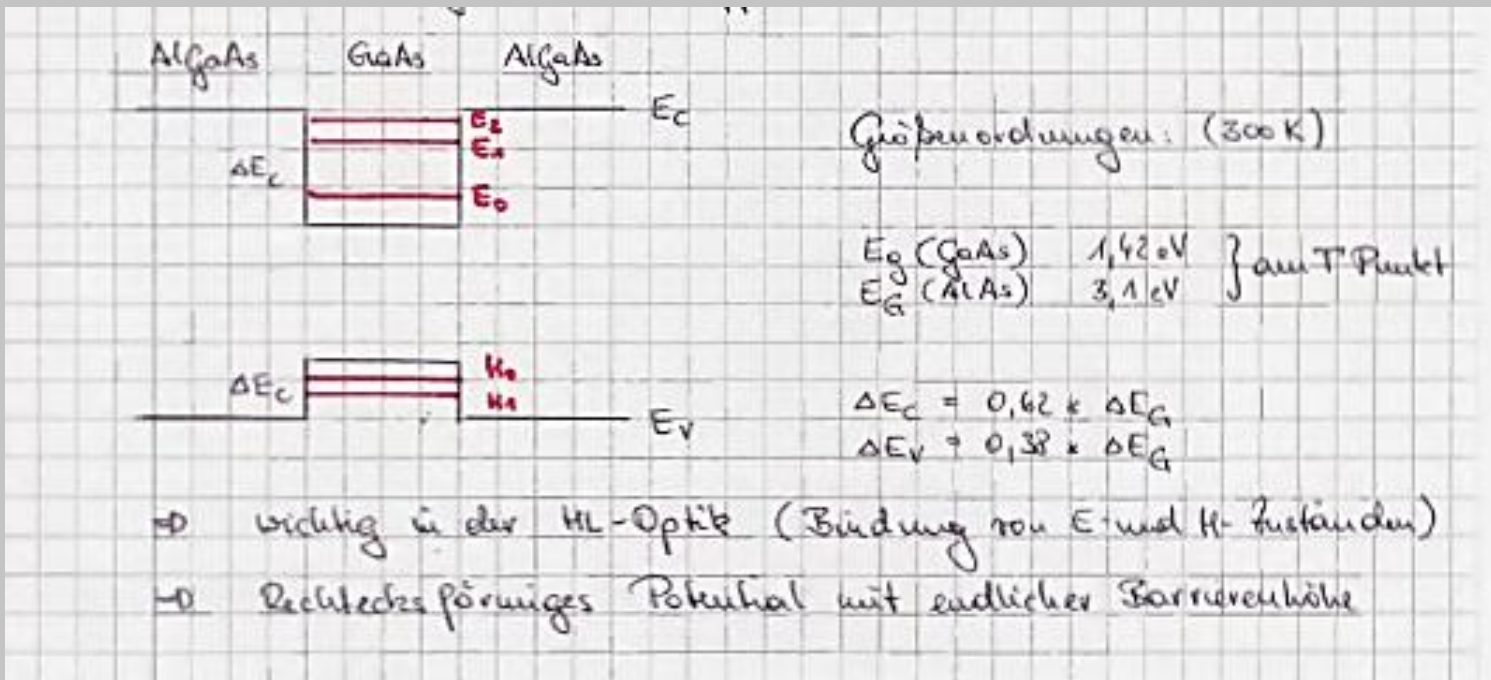
Unterschiedliche Potentialöpfe

Einfache Heterostrukturen



Doppelheterostrukturen

Rechtecksförmige Potentialtöpfe

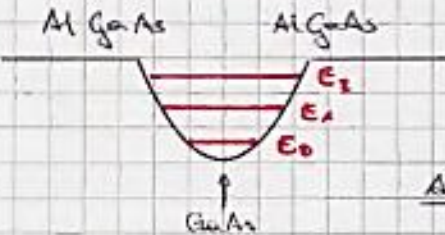


Parabolische Potentialtopf

Realisiert durch:

- Variation des Al-Gehalts als Funktion des Ortes z

→ Parabolischer Verlauf von $E_g(\text{AlGaAs}) - E_g(\text{GaAs})$

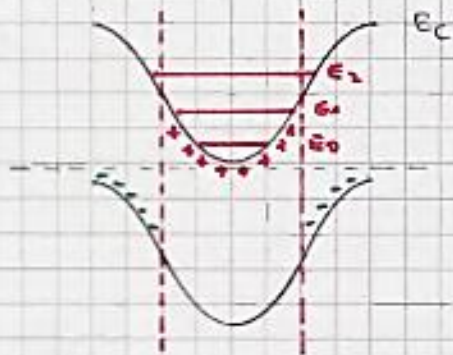


→ äquidistante Energiedistanz

Anwendung:

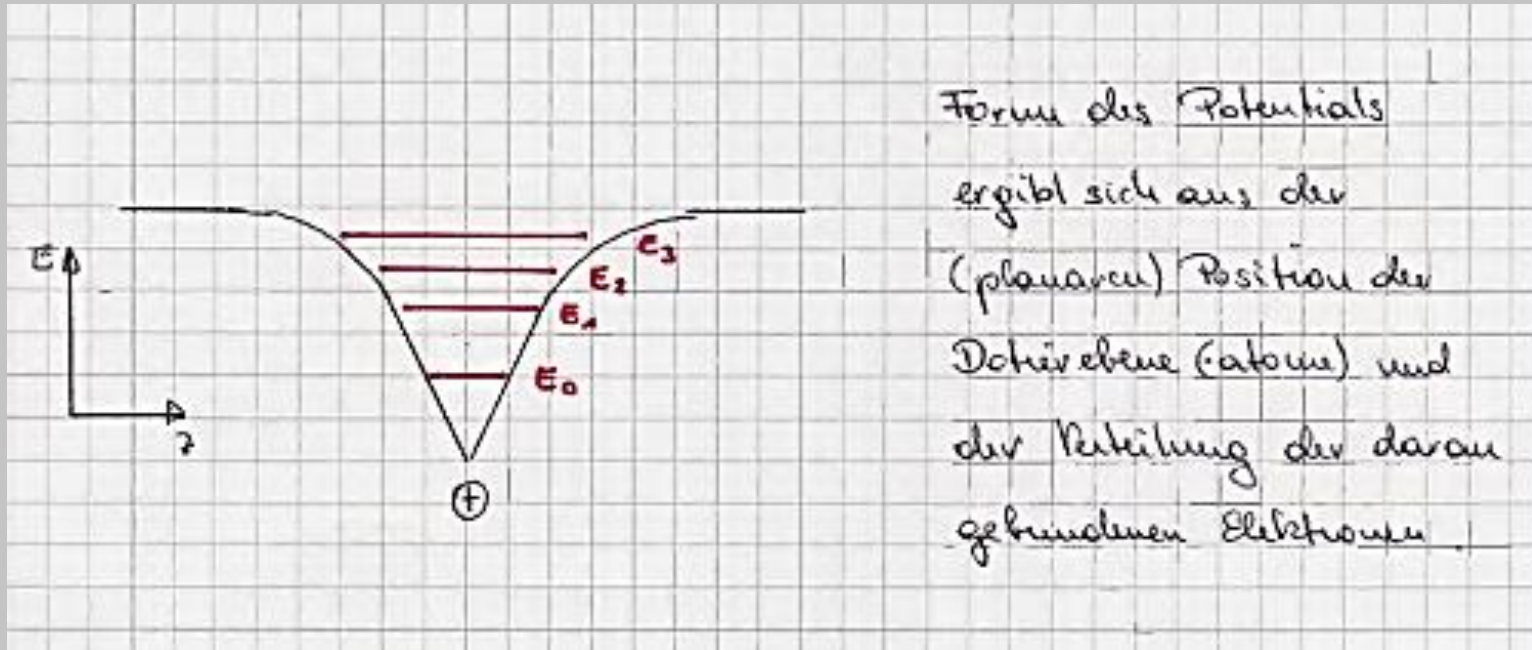
- Grundlagenforschung
- FIR - Detektoren

- Dotierung: pnp-Strukturen oder npn oder npp



Potentialverlauf durch
S Lösung der Poisson-
gleichung gegeben:

V-förmige Potentialtöpfe



Energie-Eigenwerte für analytische Modellpotentiale

Energie - Eigenwerte in den vorgestellten Modellpotentialen ($n=0,1,2,\dots$)

a)  $E_n = \left(\frac{\hbar^2 \cdot e^2 \cdot F^2}{2 \cdot m_1^*} \right)^{1/3} \cdot \left[\frac{3}{2} \cdot \pi \cdot \left(n + \frac{3}{4}\right) \right]^{2/3}$ $F \triangleq E\text{-Feld}$

b)  $E_n = \frac{\hbar^2 \cdot \pi^2}{2 \cdot m_1^* \cdot L^2} \cdot (n+1)^2$ mit $L = QW$ -Breite

c)  $E_n = \hbar \omega \left(n + \frac{1}{2}\right)$ mit $V(z) = \frac{m_1^* \omega^2}{2} \cdot z^2$

d)  $E_n = \left(\frac{\hbar^2 \cdot e^2 \cdot F^2}{2 \cdot m_1^*} \right)^{1/3} \cdot \left[\frac{3}{4} \cdot \pi \cdot \left(n + \frac{1}{2}\right) \right]^{2/3}$

Zusammengefaßt gilt:

$$E_n = \left(\frac{1}{m_1^*} \right)^{1/3} (n + s)^{2/3}$$

 $\ell = \frac{1}{3}$ $s = \frac{3}{4}$ $r = \frac{2}{3}$

 $\ell = 1$ $s = 1$ $r = 2$

 $\ell = \frac{1}{2}$ $s = \frac{1}{2}$ $r = 1$

 $\ell = \frac{1}{3}$ $s = \frac{1}{2}$ $r = \frac{2}{3}$

Bandanordnung

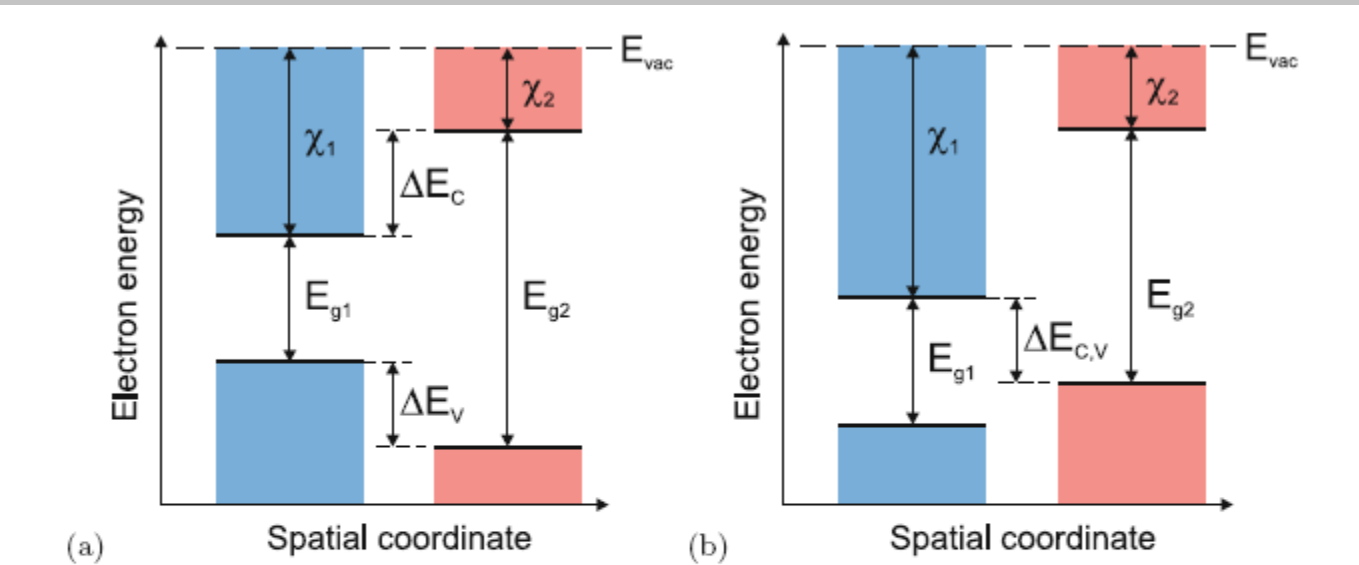
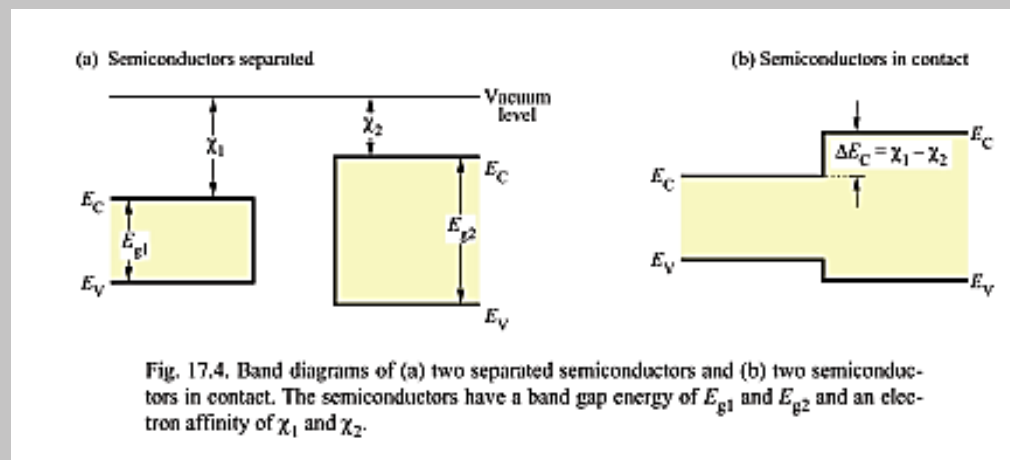
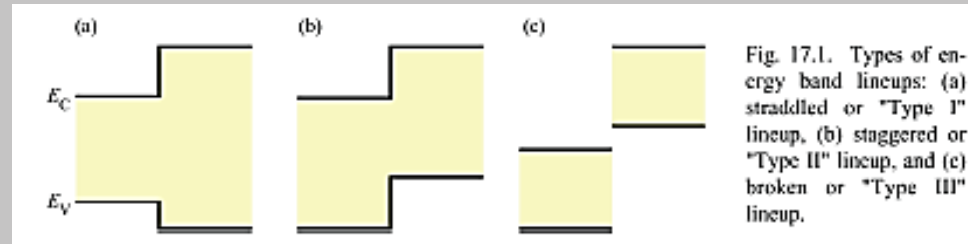


Fig. 11.15. Position of band edges (band alignment) in (a) type-I and (b) type-II heterostructure

$$\Delta E_C = \chi_1 - \chi_2 \quad (11.2a)$$

$$\Delta E_V = (\chi_1 + E_{g1}) - (\chi_2 + E_{g2}) . \quad (11.2b)$$

3.3.2 Bandanordnung

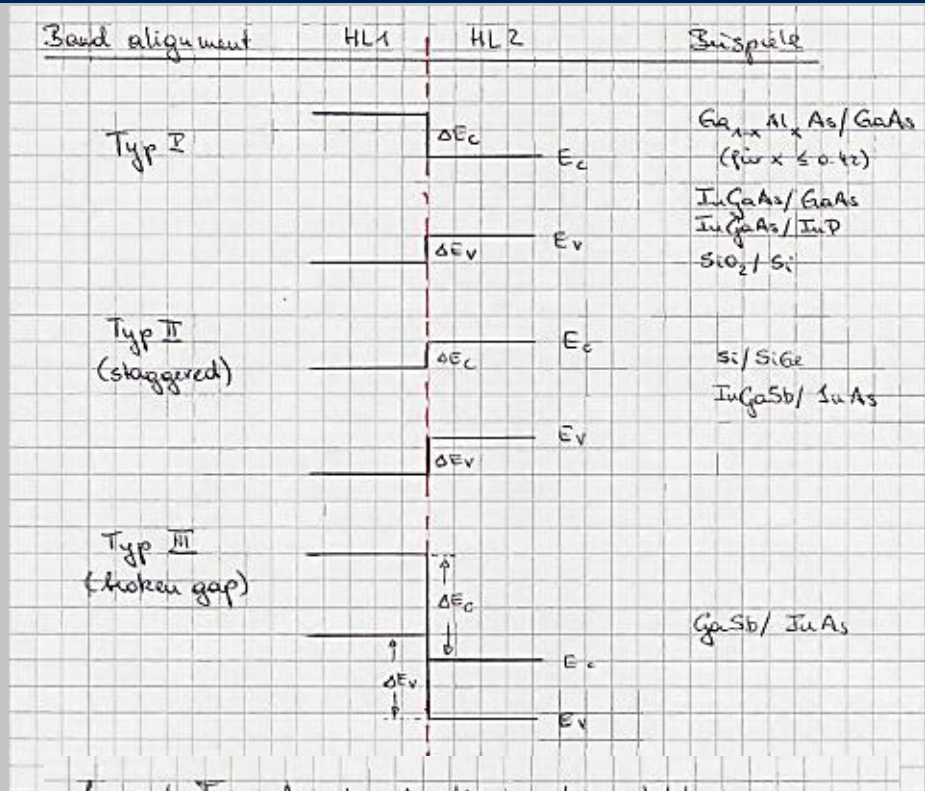


$$\Delta E_c = \chi_1 - \chi_2$$

The valence band discontinuity then follows automatically as

$$\Delta E_v = E_{g2} - E_{g1} - \Delta E_c$$

Bandoffset



je nach Typ des band alignments entstehen so
interne Potenzialbarrieren für Elektronen und/oder Löcher

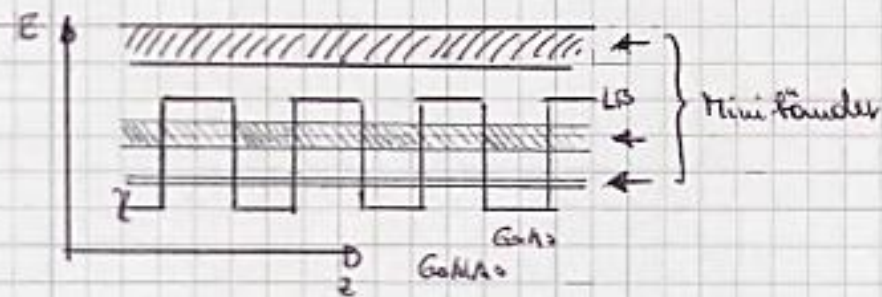
ΔE_C bzw. ΔE_V wird meist in % bezüglich des totalen
Bandabstandes angegeben

ΔE_C angegeben: $\Delta E_C \approx 63\%$ für $GaAs / AlGaAs$ und
 $GaAs / InGaAs$

$$\Delta E_C \approx \sqrt{1 - 4 \cdot \frac{\Delta E}{E_F}} \cdot T_F / T_{CMB}$$

Übergitter (Superlattices)

Unter einem Übergitter versteht man eine periodische Überstruktur aus Halbleitermaterialien mit unterschiedlicher Bandlücke
Beispiel: GaAs/GaAlAs - SL



Im periodischen Potential kommt es zur Tunnelwechselwirkung zwischen einzelnen Subbandniveaus und somit zur Ausbildung von sog. Minibändern

$$\Rightarrow \text{neue Br-Grenze bei } k = \frac{\pi}{a+b}$$

Bandanordnung

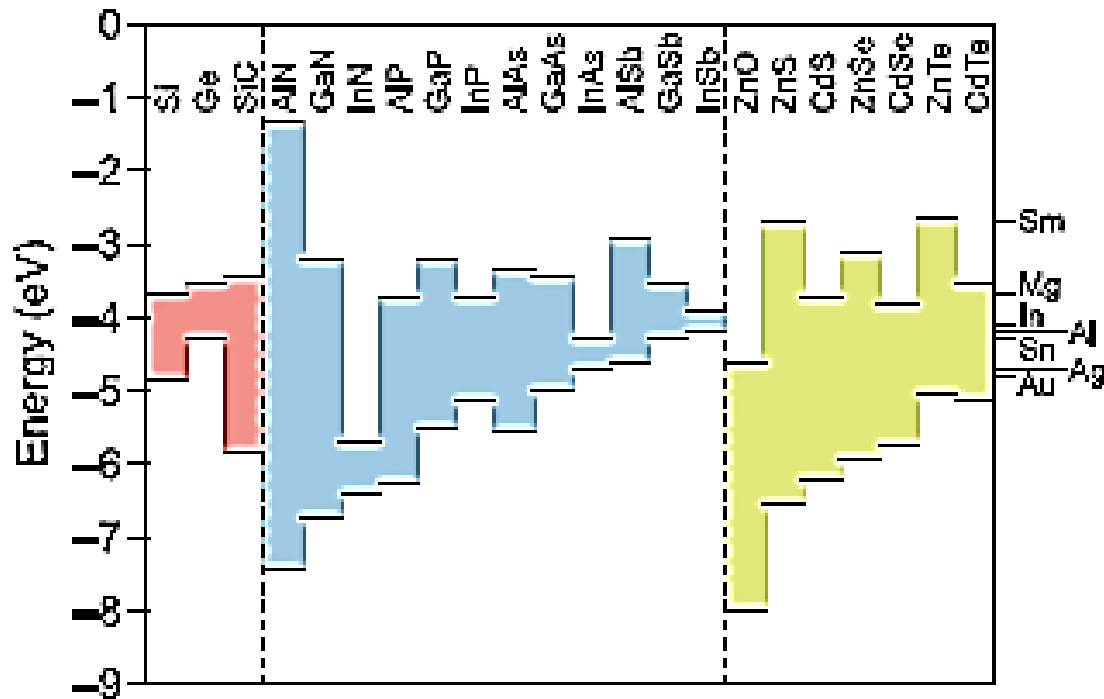
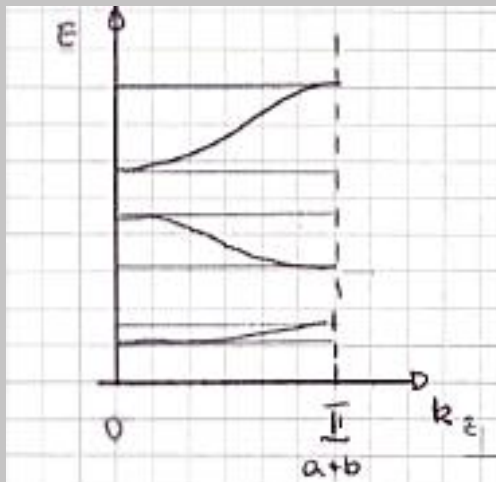


Fig. 11.14. Position of conduction and valence-band edges for a variety of semiconductors (relative to a common vacuum level at $E = 0$ eV). Based on values from [792]. On the right hand side the work functions of several metals are shown for comparison

Übergitter



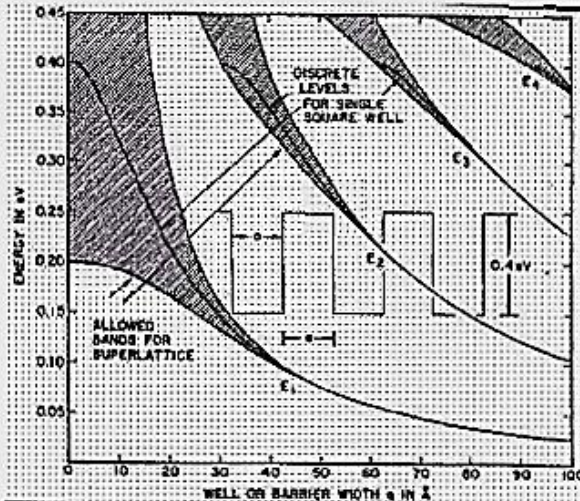
Die entstehenden Minibänder besitzen eine Dispersion in k_x -Richtung. D.h. es gibt ein Spektrum ausgedehnter Zustände in z -Richtung.

Die genaue Dispersion der These bander kann mittels tight-Binding oder Koenig-Penny-Modell berechnet werden.

Literatur Testkörperphysik z.B. Kittel

Übergitter (Superlattices)

Die Breite der Minibänder nimmt mit steigender Tunnelwahrscheinlichkeit, d.h. sinkender GaAlAs-Barrierendicke zu



Vergleich der Zustandsdichte eines 2D-QWs, eines SL und eines 3D-Volumenhalbleiters:

